ХИРУРГИЧЕСКОЕ ЛЕЧЕНИЕ СОЧЕТАНИЯ ДУРАЛЬНОЙ АРТЕРИОВЕНОЗНОЙ ФИСТУЛЫ И АНГИОГРАФИЧЕСКИ СКРЫТОЙ АРТЕРИОВЕНОЗНОЙ МАЛЬФОРМАЦИИ, ОСЛОЖНИВШЕЙСЯ ВНУТРИМОЗГОВЫМ КРОВОИЗЛИЯНИЕМ

А.В. Природов^{1,2}, Е.Ю. Бахарев¹, Р.М. Козлова¹, М.Ю. Синкин^{1,2}, А.А. Гринь^{1,2}

¹ГБУЗ «Научно-исследовательский институт скорой помощи им. Н.В. Склифосовского Департамента здравоохранения г. Москвы»; Россия, 129090 Москва, Большая Сухаревская пл., 3;

²ФГАОУ ВО «Российский национальный исследовательский медицинский университет им. Н.И. Пирогова» Минздрава России; Россия, 117997 Москва, ул. Островитянова, 1

Контакты: Евгений Юрьевич Бахарев ads_nvkz@mail.ru

Введение. Церебральные артериовенозные мальформации и дуральные артериовенозные фистулы — относительно редкая патология с частотой встречаемости 1–1,5 и 0,1–0,2 случаев на 100 тыс. населения в год соответственно. Вероятность сочетания данной патологии у одного пациента крайне низка. В литературе авторам не удалось найти публикации, посвященные сочетанию данной патологии сосудов головного мозга.

Цель работы — представить клинический случай успешного хирургического лечения сочетанной церебральной патологии: дуральной артериовенозной фистулы и ангиографически скрытой артериовенозной мальформации у пациента с внутричерепным кровоизлиянием.

Материалы и методы. Проведен анализ результатов лечения пациента с дуральной артериовенозной фистулой с геморрагическим типом течения в ГБУЗ «НИИ скорой помощи им. Н.В. Склифосовского» ДЗМ (Москва). Пациенту выполнена костно-пластическая трепанация черепа, иссечение дуральной артериовенозной фистулы. Интраоперационно выявлена ангиографически скрытая артериовенозная мальформация, которая послужила причиной кровоизлияния.

Результаты. Проведенное хирургическое лечение позволило достичь удовлетворительного исхода. Выявленная интраоперационно, ангиографически скрытая артериовенозная мальформация подтверждена гистологически.

Заключение. Представленное клиническое наблюдение иллюстрирует необходимость тщательной ревизии полости гематомы при наличии изолированного паренхиматозного кровоизлияния из дуральной артериовенозной фистулы.

Ключевые слова: ангиографически негативная артериовенозная мальформация, дуральная артериовенозная фистула, нетравматическое паренхиматозное кровоизлияние

Для цитирования: Природов А.В., Бахарев Е.Ю., Козлова Р.М. и др. Хирургическое лечение сочетания дуральной артериовенозной фистулы и ангиографически скрытой артериовенозной мальформации, осложнившейся внутримозговым кровоизлиянием. Нейрохирургия 2022;24(4):85–94. DOI: 10.17650/1683-3295-2022-24-4-85-94

Case report: Surgical treatment of combined dural arteriovenous fistula and angiographically occult arteriovenous malformation complicated by intracerebral hemorrhage

A.V. Prirodov^{1, 2}, E.Yu. Bakharev¹, R.M. Kozlova¹, M.Yu. Sinkin^{1, 2}, A.A. Grin^{1, 2}

Contacts: Evgeniy Yurevich Bakharev *ads_nvkz@mail.ru*

¹N.V. Sklifosovsky Research Institute for Emergency Medicine, Moscow Healthcare Department; 3 Bolshaya Sukharevskaya Sq., Moscow 129090, Russia;

²Pirogov Russian National Research Medical University (Pirogov Medical University); 1 Ostrovitianov St., Moscow 117997, Russia

Background. Cerebral arteriovenous malformations and dural arteriovenous fistulas are relatively rare pathologies with frequency of 1–1.5 and 0.1–0.2 cases per 100 000 people per year, respectively. Probability of a combination of these pathologies in a single patient is extremely low. The authors were not able to find publications describing a combination of these pathologies of the cerebral vasculature.

Aim. To present a clinical case of successful surgical treatment of combined cerebral pathology – dural arteriovenous fistula and angiographically occult arteriovenous malformation – in a patient with intracranial hemorrhage.

Materials and methods. Analysis of the results of treatment of patient with dural arteriovenous fistula with hemorrhagic disease course at the N.V. Sklifosovsky Research Institute of Emergency Medicine (Moscow) was performed. The patient underwent osteoplastic cranial trepanation, resection of the dural arteriovenous fistula. Intraoperatively an angiographically occult arteriovenous malformation was detected which caused the hemorrhage.

Results. Surgical treatment allowed to achieve a satisfactory outcome. Intraoperatively diagnosed angiographically occult arteriovenous malformation was confirmed histologically.

Conclusions. The presented clinical observation shows the necessity of careful revision of hematoma cavity in the presence of isolated intraparenchymal hemorrhage from dural arteriovenous fistula.

Keywords: angiographically occult arteriovenous malformations, dural arteriovenous fistula, nontraumatic intraparenchymal hemorrhage

For citation: Prirodov A.V., Bakharev E.Yu., Kozlova R.M. et al. Case report: Surgical treatment of combined dural arteriovenous fistula and angiographically occult arteriovenous malformation complicated by intracerebral hemorrhage. Neyrokhirurgiya = Russian Journal of Neurosurgery 2022;24(4):85–94. (In Russ.). DOI: 10.17650/1683-3295-2022-24-4-85-94

ВВЕДЕНИЕ

Дуральные артериовенозные/артериосинусные соустья составляют примерно 15 % от всех артериовенозных мальформаций (АВМ) [1-6]. Пик встречаемости дуральных артериовенозных фистул (дАВФ) приходится на 50-60 лет, хотя выявление возможно в любом возрасте [7]. Дуральные артериовенозные фистулы могут быть как врожденными, так и приобретенными. Приобретенные дАВФ могут возникнуть после черепно-мозговой травмы, хирургического вмешательства, стеноза или тромбоза крупных мозговых вен и синусов [8-9]. По одной из гипотез, д $AB\Phi$ возникают в результате действия факторов неоангиогенеза [8-10]. Основным источником артериального питания дАВФ служат экстрацеребральные артерии, дренирование чаще осуществляется в вены волосистой части головы или дуральные синусы и кортикальные вены [11-16].

В настоящее время наиболее общеприняты следующие классификации дАВФ (табл. 1) по их строению:

- J.A. Borden: основана на локализации венозного оттока [17];
- С. Cognard: базируется на архитектуре венозного оттока (антеро- или ретроградный дренаж в дуральные синусы либо кортикальные вены, эктазии кортикальных или перимедуллярных вен) [18].

«Золотой стандарт» диагностики ABM и дАВФ — дигитальная субтракционная церебральная ангиография (ЦАГ), которая позволяет идентифицировать наличие ABM, ранний венозный дренаж, питающие артерии и дренирующие вены. При подозрении на дАВФ следует выполнить селективную ЦАГ с контрастированием экстрацеребральных и интракраниальных артерий. Для визуализации рацемозной части ABM высокоинформативно выполнение магнитно-резонанс-

ной томографии головного мозга (при наличии кровоизлияния альтернативой может служить компьютерная томография (КТ) с внутривенным введением контрастного вещества) [1–3, 12, 14, 19–23].

Цель работы — представить клинический случай успешного хирургического лечения сочетанной церебральной патологии: $дAB\Phi$ и ангиографически скрытой ABM у пациента с внутричерепным кровоизлиянием.

КЛИНИЧЕСКИЙ СЛУЧАЙ

Пациент А., 69 лет, обратился в приемное отделение НИИ скорой помощи им. Н.В. Склифосовского (г. Москва) с жалобами на головную боль, выраженную слабость, дезориентацию в пространстве. Из анамнеза известно, что за 1 сут до обращения больной (водитель) пострадал в ДТП. Следов травмы на голове при осмотре не было выявлено. В момент получения травмы отмечал эпизод спутанного сознания. На момент осмотра в приемном отделении в неврологическом статусе у пациента отмечали нарушение зрения в виде левосторонней гомонимной гемианопсии, левостороннего гемипареза до 4 баллов. На КТ головного мозга визуализируется субкортикальная гематома правых теменной и затылочной долей объемом 42 см³ с умеренно выраженным перифокальный отеком (рис. 1). Травматической патологии костей черепа нет.

С учетом субкортикального характера кровоизлияния (не типичного для черепно-мозговой травмы), а также локализации и формы гематомы заподозрено кровоизлияние из сосудистой мальформации. Выполнены КТ-ангиография и ЦАГ, выявлены дАВФ, с афферентами из поверхностной височной и затылочных артерий, дренирующаяся через расширенные корковые вены в прямой синус. Заполнения из интракраниальных артерий нет (рис. 2, 3): тип по Borden — IIIb, по Cognard — IV.

Таблица 1. Классификация дуральных артериовенозных фистул (дАВФ) по J.A. Borden и C. Cognard

Table 1. Classifications of dural arteriovenous fistulas (dAVFs) per J.A. Borden and C. Cognard

Тип д АВФ dAVF type	Тип венозного дренажа Venous drainage type		
Классификация J.A. Borden J.A. Borden's classification			
I	Непосредственно в синус или менингеальную вену с антеградным кровотоком Directly into the sinus or meningeal vein with antegrade flow		
II	Непосредственно в синус или менингеальную вену с ретроградным дренажем в субарахноидальные вены Directly into the sinus or meningeal vein with retrograde flow into the subarachnoid veins		
III	Непосредственно в субарахноидальные вены Directly into the subarachnoid veins		
IIIa	Дренирование только в субарахноидальные вены Drainage only into the subarachnoid veins		
IIIb	Дренирование как в одну, так и в несколько субарахноидальных вен Drainage in one or several subarachnoid veins		
Классификация С. Cognard C. Cognard's classification			
I	Непосредственно в синус с антеградным кровотоком в синусе Directly into the sinus with antegrade flow in the sinus		
IIa	Непосредственно в синус с ретроградным кровотоком в синусе Directly into the sinus with retrograde flow in the sinus		
IIb	C антеградным кровотоком в синус и ретроградным дренажем в кортикальные вены With antegrade flow in the sinus and retrograde drainage into the cortical veins		
IIa + b	С ретроградным кровотоком в синус и ретроградным дренажем в кортикальные вены With retrograde flow in the sinus and retrograde drainage into the cortical veins		
III	Исключительно и непосредственно в корти- кальные вены без венозной эктазии Directly into the cortical veins without venous ectasia		
IV	Непосредственно в кортикальные вены с эктазией дренажных вен Directly into the cortical veins with ectasia of the drainage veins		
V	Непосредственно в спинальные перимедуллярные вены Directly into the spinal perimedullary veins		

C учетом кровоизлияния c формированием внутримозговой гематомы (BMГ), объем — $42\,\mathrm{cm}^3$, принято решение о проведении микрохирургического иссечения дАВФ и ВМГ под нейрофизиологическим мониторингом. Первым этапом — под контролем ультразвуковой навигации из линейных разрезов $2\,\mathrm{cm}$ (в теменной и затылоч-

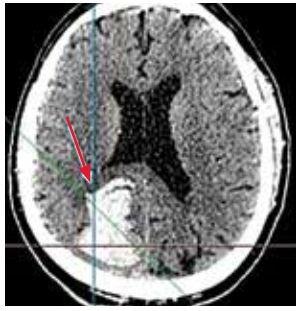




Рис. 1. KT головного мозга. Субкортикальная гематома правых теменной и затылочной долей объемом 42 см³ (стрелки). Поперечной и аксиальной дислокации нет

Fig. 1. CT of the brain. Subcortical hematoma of the right parietal and occipital lobes with volume 42 cm³ (arrows). No transversal or axial dislocation

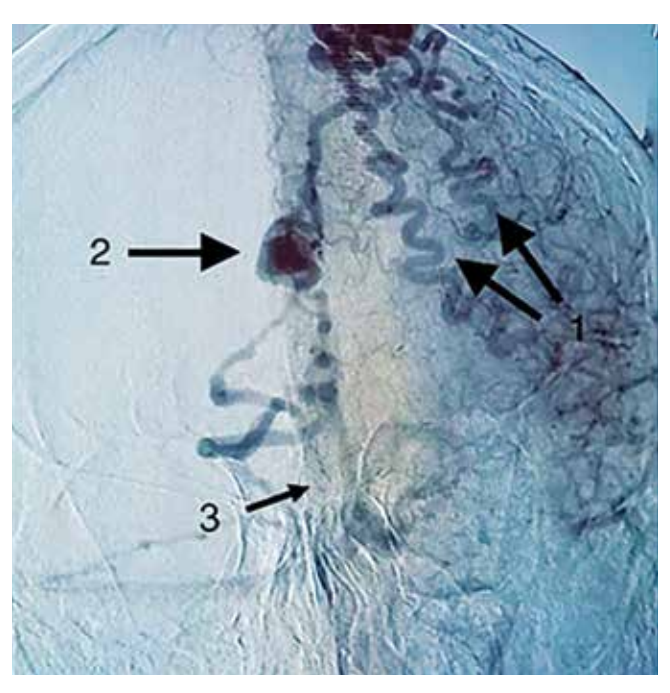
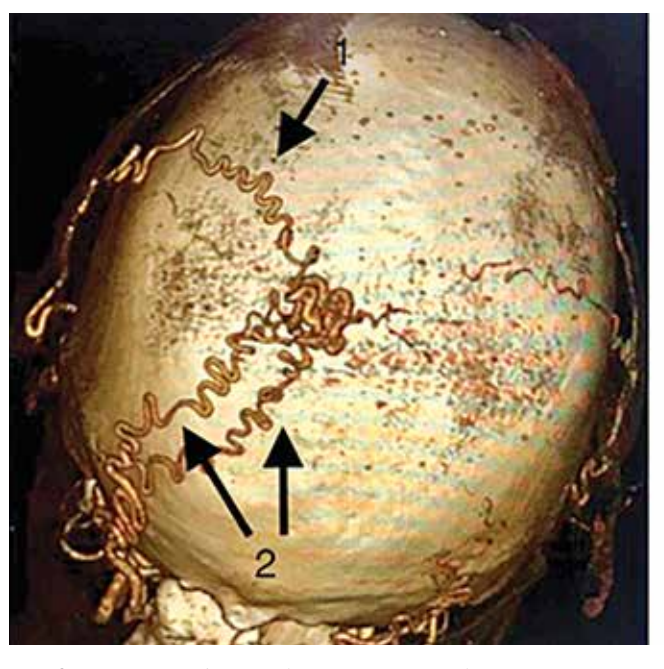


Рис. 2. Дигитальная субтракционная церебральная ангиография, прямая проекция. Выявлена дАВФ. 1— афферент (ветви затылочной артерии); 2— венозная эктазия; 3— прямой синус

Fig. 2. Digital subtraction cerebral angiography, frontal projection. dAVF is detected. 1- afferent (branches of the occipital artery); 2- venous ectasia; 3- tentorial sinus

ной областях) — выполнена перевязка теменной ветви левой поверхностной височной артерии и 2 ветвей левой затылочной артерии, участвующих в кровоснабжении дАВФ. После перевязки пульсация подкожной части фистулы значительно ослабла (рис. 4, 5).

Вторым этапом выполнена костно-пластическая трепанация черепа в правой теменно-затылочной области. При формировании кожного лоскута отмечалось наличие патологически измененной ветви правой затылочной артерии (дополнительный источник кровоснабжения дАВФ), которые также были перевязаны. С помощью нейронавигации спланирована энцефалотомия в проекции предполагаемой дАВФ. Выявлена и удалена



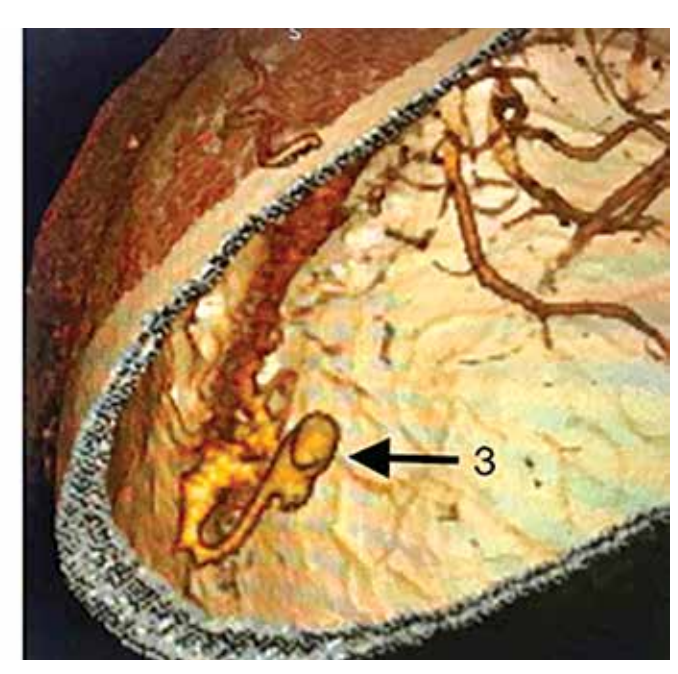


Рис. 3. КТ-ангиография церебральных артерий, 3D-реконструкция. Выявлена дАВФ. 1 — афферент (теменная ветвь поверхностной височной артерии); 2 — афферент (ветви затылочной артерии); 3 — венозная эктазия

Fig. 3. CT angiography of the cerebral arteries, 3D reconstruction. dAVF is detected. 1 – afferent (parietal branch of the superficial temporal artery); 2 – afferent (branches of the occipital artery); 3 – venous ectasia



Рис. 4. Интраоперационная фотография. Разметка кожного доступа: 1 — проекция теменной ветви левой поверхностной височной артерии; 2 — проекция ветвей левой затылочной артерии; 3 — область планируемой трепанации

Fig. 4. Intraoperative photo. Mapping of skin access: 1 – projection of the parietal branch of the left superficial temporal artery; 2 - projection of the branches of the left occipital artery; 3 – area of the planned trepanation

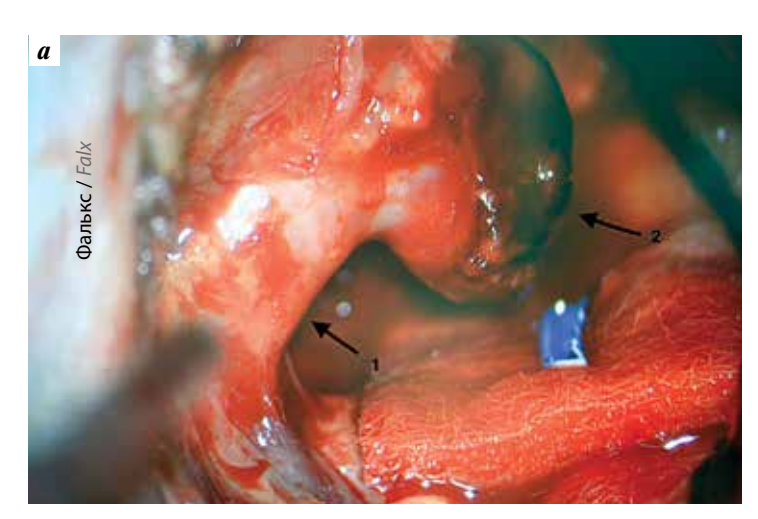
 $BM\Gamma$ объемом около $40\,\mathrm{cm}^3$, после чего обнаружена патологическая сосудистая сеть в области медиальных отделов теменной и затылочной долей. Найдена скрытая АВМ, кровоснабжающаяся из патологического сосуда в области фалькса, дренирующаяся в глубинные вены (рис. 6). Вместе с венозной эктазией была иссечена АВМ с применением микрохирургической техники. При контрольной корковой моторной стимуляции снижения мо-



Рис. 5. Интраоперационная фотография. Выделение и перевязка ветви затылочной артерии (стрелка)

Fig. 5. Intraoperative photo. Isolation and ligation of the occipital artery branch (arrow)

торных вызванных потенциалов не было. При гистологическом исследовании патологической сети сосудов подтверждена АВМ.



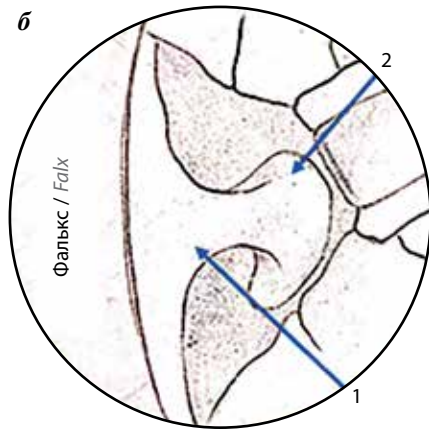
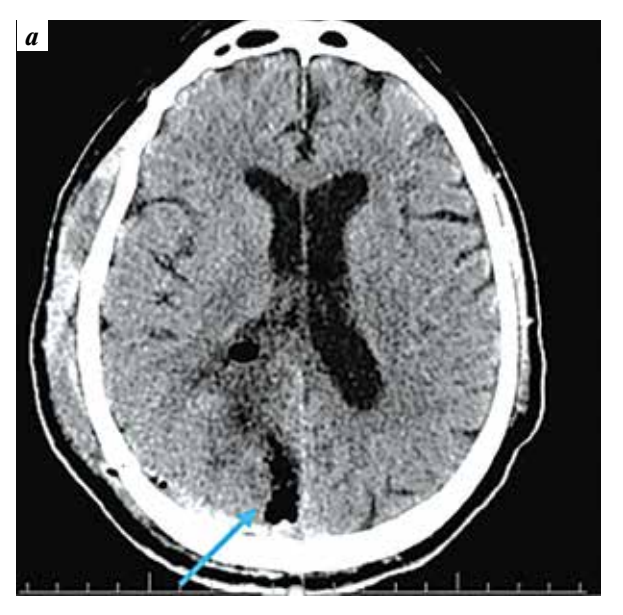


Рис. 6. Интраоперационная фотография (а). Схема (б) интраоперационного изображения. 1 — расширенная, дренирующая фистулу вена; 2 — венозная эктазия

Fig. 6. Intraoperative photo (a). Diagram (6) of the intraoperative image. 1 – expanded vein draining the fistula; 2 – venous ectasia



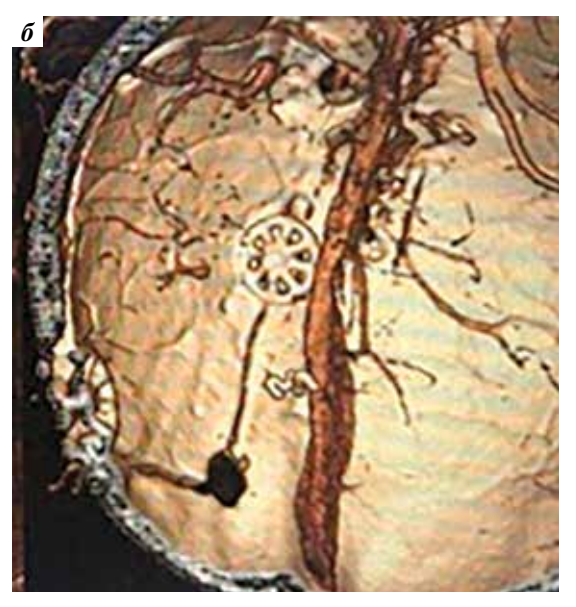


Рис. 7. КТ головного мозга и КТ-ангиография церебральных артерий (послеоперационный контроль). КТ головного мозга (а): минимальные изменения в области оперативного вмешательства; поперечной и аксиальной дислокации нет; обозначена область гематомы (стрелка). КТ-ангиография сосудов головного мозга (б): представлена внутренняя поверхность свода черепа; патологии интракраниальных сосудов головного мозга не выявлено; дАВФ иссечена тотально

Fig. 7. CT of the brain and CT angiography of the cerebral arteries (postoperative control). CT of the brain (a): minimal changes in the area of surgical intervention; no transversal or axial dislocation; area of the hematoma is shown (arrow). CT angiography of the cerebral vasculature (6): internal surface of the cranial vault is presented; no pathologies of the intracranial vessels are detected; dAVF is fully resected

В послеоперационном периоде на фоне проведенного лечения отмечен регресс двигательных и координаторных нарушений, а также частичный регресс гомонимной гемианопсии. Больной выписан в удовлетворительном состоянии на 11-е сутки после операции (рис. 7).

РЕЗУЛЬТАТЫ

Выявленная интраоперационно ангиографически скрытая ABM подтверждена гистологически. Проведенное хирургическое лечение позволило достичь удовлетворительного исхода лечения.

ОБСУЖДЕНИЕ

В настоящее время существует 3 метода лечения церебральных ABM и дАВФ:

- эндоваскулярная эмболизация;
- микрохирургическое лечение;
- радиохирургия.

Наилучшие результаты лечения с высоким уровнем радикальности и низкими показателями послеоперационных осложнений обеспечиваются благодаря мультимодальному подходу с комбинированием данных методик [11, 13, 24–27]. В то время как подходы

Таблица 2. Преимущества и недостатки, показания к применению методик выключения артериовенозных мальформаций (АВМ)

Table 2. Advantages and disadvantages, indications for techniques of arteriovenous malformation (AVM) exclusion

Mетодика вы- ключения ABM AVM exclusion technique	Показания и преимущества Indications and advantages	Ограничения и недостатки Limitations and disadvantages
Микрохирургическое лечение Microsurgical treatment	• Субкортикальное расположение ABM; Subcortical AVM location; • ABM вне функциональной зоны головного мозга; AVM outside the functional zone of the brain; • наличие ВМГ с признаками масс-эффекта; presence of ICH with signs of mass effect; • обладает наибольшей радикальностью has highest radicality	 Риск нарастания неврологической симптоматики при локализации в функционально значимой зоне; Risk of augmentation of neurological symptoms in case of location in the functionally significant zone; ограничение у пациентов с сопутствующей соматической патологией; limitations in patients with concomitant somatic pathology; возможно развитие синдрома прорыва нормального церебрального перфузионного давления — реперфузионного синдрома, характеризующегося кровоизлиянием в ложе ABM (!) possible development of normal cerebral perfusion pressure breakthrough syndrome — reperfusion syndrome — characterized by hemorrhage in the AVM bed (!)
Эндоваскулярное выключение Endovascular exclusion	• Терминальный тип афферентов; Terminal type of afferents; • функционально значимая зона головного мозга; functionally significant zone of the brain; • ABM больших размеров; large AVM; • как 1-й этап комбинированного лечения ABM as the 1st stage of combination treatment of AVM	 Возможность развития тяжелых ишемических повреждений функционально значимых центров головного мозга из-за окклюзии питающих артерий при транзиторном типе афферентов; Possible development of severe ischemic damage of functionally significant centers of the brain due to occlusion of nutrient arteries in case of transitional type of afferents; риск реканализации ABM (11,8 %); risk of AVM recanalization (11.8 %); в условиях острого кровоизлияния визуализация ядра ABM и его тотальная эмболизация могут быть затруднены в связи с его частичным тромбозом; in case of acute hemorrhage, visualization of the AVM nucleus and its total embolization can be complicated by its partial thrombosis; возможно развитие синдрома прорыва нормального церебрального перфузионного давления (реперфузионный синдром) possible development of normal cerebral perfusion pressure breakthrough syndrome (reperfusion syndrome)
Радиохирургия Radiosurgery	• Глубинная локализация мальформации; Deep location of the malformation; малый размер (до 3 см); small size (below 3 сm) • функционально значимая зона головного мозга; functionally significant zone of the brain; • как заключительный этап лечения АВМ после частичного хирургического иссечения или эмболизации as a final stage of AVM treatment after partial surgical resection or embolization	 Риск повторного кровотечения сохраняется в течение 1—2 лет после облучения; Risk of repeat hemorrhage remains for 1—2 years after irradiation; развитие лучевого некроза; development of radiation necrosis; ограничение при больших размерах ABM, наличии фистул и аневризм limitations in cases of large AVMs, presence of fistulas, aneurysms

Примечание. ВМГ — внутримозговая гематома. Note, ICH — intracerebral hematoma.

к лечению ABM регламентированы рядом клинических рекомендаций, общепринятого подхода к лечению д $AB\Phi$ в литературе не найдено.

Выбор метода оперативного лечения ABM определяется типом клинического течения, объемом ВМГ, локализацией и размером мальформации, характером питающих артерий, функциональным статусом больного [11, 28]. В табл. 2 суммированы показания и недостатки каждой методики [11, 28].

Подходы к лечению дуральных артериовенозных фистул. Цель лечения дАВФ — тотальное разобщение соустья [29, 30]. Стратегии лечения дАВФ заключаются в изолированном или комбинированном применении методов микрохирургии, эндоваскулярной трансартериальной или трансвенозной эмболизации и радиохирургии [10, 31, 32]. Согласно литературным источникам, при использовании трансартериальной эмболизации дАВФ эффективность вмешательства

достигает 20-30 %. Трансвенозная окклюзия позволяет достичь тотального выключения дАВФ у 80 % пациентов, хотя сопряжена с риском увеличения реверсии кровотока в церебральные вены. [29] Оптимальный метод эндоваскулярного лечения остается дискуссионным [33]. В технически сложных случаях возможен вариант комбинированного лечения — эндоваскулярное вмешательство с последующей микрохирургический резекцией. Стереотаксическая радиохирургия в качестве самостоятельного метода лечения агрессивных дАВФ используется реже и, как правило, применяется для облитерации остаточных дАВФ после микрохирурического и внутрисосудистого лечения [8, 9, 13, 29]. Доступны различные варианты микрохирургической операции, включая резекцию аномальной твердой мозговой оболочки, тампонирование пораженного синуса, выключение ретроградного лептоменингеального венозного дренажа [33]. Определенные анатомические области локализации дАВФ предпочтительны для микрохирургического лечения: дно передней черепной ямки и область верхнего сагиттального синуса [33]. Хорошими кандидатами на стереотаксическую радиохирургию могут быть дАВФ низкого риска кровотечения (тип I по Cognard/Borden) в связи с низким риском кровоизлияния, хотя показания к их хирургическому лечению остаются дискуссионными. Эти дАВФ показали более высокую частоту облитерации при радиохирургии без кровоизлияния в латентный период. Радиохирургия может быть рассмотрена в качестве лечебной опции, когда эндоваскулярное лечение или микрохирургия невыполнимы [8, 9, 13, 29].

Подходы к лечению артериовенозных мальформаций. Эти подходы более стандартизированы, чем для дАВФ. Радикальные микрохирургические операции наиболее эффективны при ABM I—II степени по шкале Спецлера—Мартина (R. F. Spetzler, N.A. Martin, 1986). Для ABM III—IV степени требуется индивидуальный комбинированный подход. Высоким риском послеоперационных осложнений при микрохирургическом исссечении характеризуются ABM V степени, они требуют применения комбинированного подхода в лечении [31, 34, 35].

У пациентов с крупными неразорвавшимися ABM (Spetzler—Martin IV—V) возможно проведение наблюдения. Был проведен ряд исследований (Scottish Intracranial Vascular Malformation Study — SIVMS, A Randomized Trial of Unruptured Brain AVMs — ARUBA, MRI-assisted radiosurgery — MARS), показавших прогностически положительные результаты консервативного лечения у пациентов с неразорвавшимися ABM по сравнению с хирургическим или эндоваскулярным выключением [36—38]. Данные результаты также были подтверждены в Национальном институте неврологических расстройств и инсульта (National Institute of Neurological Disorders and Strok, США) [36—38]. Также стоит помнить о Европейской консенсусной конференции

(European consensus conference), решение которой в 2016 г. гласит, что применение результатов ARUBA ко всем мальформациям не целесообразно в связи с малым количеством исследуемых больных, неравномерным распределением по группам наблюдения и более высоким показателям летальности в ходе исследования, чем ожидалось изначально [39]. Р. Огозг и соавт. (2021) провел исследование, на основании которого сделан вывод: сравнение рисков естественного течения и профилактического лечения больных показывает, что наблюдение более предпочтительно, чем какое-либо лечение. Однако в этом исследовании не учитывалось долгосрочное влияние ABM на качество жизни [40].

Метод выбора при разрыве ABM — хирургическое лечение [11, 14, 25, 27, 41, 42]. Все методы инвазивного лечения направлены на тотальное выключение ABM из кровотока с целью исключения риска повторного кровоизлияния, удаления ВМГ, устранения внутричерепной гипертензии, ликвидации феномена «обкрадывания» мозга, снижения или регресса неврологической симптоматики [11, 13].

Цель эмболизации АВМ — закупорка сосудов, составляющих ядро АВМ, с помощью неадгезивных и адгезивных эмболизатов, микроспиралей [11, 20, 25, 27, 28, 43, 44]. При анализе осложнений, наибольший риск для пациентов представляют геморрагические осложнения послеоперационного периода [20, 24]. Ряд авторов считают обоснованным применение в некоторых случаях сложных АВМ высокой градации (Spetzler–Martin IV–V) так называемой методики прицельной эмболизации, когда проводится только эмболизация потоковых или интранидальных аневризм, фистул высокого потока [15, 16, 26]. Эндоваскулярное лечение может быть использовано в качестве 1-го этапа лечения с последующим микрохирургическим иссечением для уменьшения интенсивности кровотока и интраоперационной кровопотери [1–3, 15, 16].

Для оценки риска внутрисосудистых вмешательств по поводу ABM R. М. Starke и соавт. (2009) предложена (как аналог шкалы Spetzler — Martin) градационная шкала для пациентов, которым планируется эндоваскулярное лечение (сумма баллов в ней варьирует от 0 до 6). Частота развития неврологического дефицита после эмболизации ABM с суммой баллов от 0 до 4 по предложенной шкале составила: 0,6, 15, 21 и 50 % соответственно. Пациентам с суммой баллов 5 эндоваскулярное лечение не проводилось [34, 45].

Стереотаксическая радиохирургия ABM чаще применяется при глубинно расположенных мальформациях небольшого размера. Облитерация ABM может занять много месяцев, и в течение этого латентного периода риск кровотечения остается [8, 9].

Для определения показаний и риска комплексного лечения пациентов с ABM с использованием всех модальностей (внутрисосудистой хирургии и радиохирургии)

А. Beltramello и соавт. (2008) разработали балльную оценку, которая включает характеристику пациента, АВМ и оценку риска каждого из 3 методов лечения. При сумме баллов 1–10 (характеристика пациента, АВМ и одна из модальностей, при этом вариант комбинированного лечения не предусмотрен) лечение с применением избранной модальности может быть рекомендовано; при 11–12 — лечение возможно с высоким риском инвалидизации; при 13–17 — лечение не рекомендовано [34, 46].

ЗАКЛЮЧЕНИЕ

В приведенном клиническом примере у пациента на дооперационном этапе выявлена дАВФ, заполняющаяся из ветвей затылочных артерий и дренирующаяся через корковые затылочные вены в прямой синус (Borden IIIb и Cognard IV), которая, предположительно, проявилась внутричерепным паренхиматозным кро-

воизлиянием. Однако интраоперационно была обнаружена еще и скрытая АВМ, что подтвердили гистологически. Однозначно определить источник кровотечения (АВМ или дАВФ) не представлялось возможным. С учетом внутричеренной гематомы, поверхностного расположения фистулы и экстракраниальных афферентов (теменные ветви поверхностной височной и ветви затылочной артерий) выбран вариант микрохирургического лечения с предварительным пересечением питающих артерий для контроля интраоперационного кровотечения. Данный метод позволил добиться минимальной кровопотери во время операции, радикального иссечения дАВФ и удовлетворительного исхода лечения, что подтверждает правильность данной лечебной тактики. Исходя из обсуждаемого примера, рекомендуем выполнять тщательную ревизию полости гематомы для выявления скрытых сосудистых мальформаций.

ЛИТЕРАТУРА / REFERENCES

- Morare N.M.T., Baloyi E.R.J. Post-traumatic arteriovenous malformation of the superficial temporal artery. J Vasc Surg Cases Innov Tech 2020;6(1):50–4. DOI: 10.1016/j.jvscit.2019.11.001
- Gopinath M., Malik V., Sarma P. et al. Results of endovascular-first approach for treatment of scalp arteriovenous malformations and the effect of simplified angiographic classification in therapeutic decision-making and outcomes. World Neurosurg 2019;121:e277– e86. DOI: 10.1016/j.wneu.2018.09.092
- Alawneh K., Abuzayed B., Al Qawasmeh M., Raffee L. Scalp arteriovenous malformation resection with novel technique of endovascular and surgical devascularization. J Craniofac Surg 2019;30(8):2582-5. DOI: 10.1097/SCS.00000000000005670
- Sabayan B., Lineback C., Viswanathan A. et al. Central nervous system vascular malformations: a clinical review. Ann Clin Transl Neurol 2021;8(2):504–22. DOI: 10.1002/acn3.51277
- Solomon R.A., Connolly Jr. E.S. Arteriovenous malformations of the brain. N Engl J Med 2017;377(5):498. DOI: 10.1056/ NEJMc1707399
- Mooney M.A., Zabramski J.M. Developmental venous anomalies. Handb Clin Neurol 2017;143:279

 –82. DOI: 10.1016/B978-0-444-63640-9.00026-6
- Reynolds M.R., Lanzino G., Zipfel G.J. Intracranial dural arteriovenous fistulae. Stroke 2017;48(5):1424–31. DOI: 10.1161/ STROKEAHA.116.012784
- Baharvahdat H., Ooi Y.C., Kim W.J., A. Mowla et al. Updates in the management of cranial dural arteriovenous fistula. Stroke Vasc Neurol 2020;5(1):50–8. DOI: 10.1136/svn-2019-000269
- Ertl L., Bruckmann H., Kunz M. et al. Endovascular therapy of lowand intermediate-grade intracranial lateral dural arteriovenous fistulas: a detailed analysis of primary success rates, complication rates, and long-term follow-up of different technical approaches.
 J Neurosurg 2017;126(2):360-7. DOI:10.3171/2016.2.JNS152081
- 10. Токарев А.С., Рак В.А., Грецких К.В. и др. Радиохирургическое лечение дуральной артериовенозной фистулы из ветвей менингогипофизарных стволов обеих внутренних сонных артерий на аппарате «гамма-нож». Нейрохирургия 2020;22(1):56–64. DOI: 10.17650/1683-3295-2020-22-1-56-64 Tokarev A.S., Rak V.A., Gretskikh K.V. et al. Gamma Knife radiosurgical treatment of a dural arteriovenous fistula with the feeding branches from the meningo-pituitary trunks of both internal carotid arteries. Neyrokhirurgiya = Russian Journal

- of Neurosurgery 2020;22(1):56–64. (In Russ.). DOI: 10.17650/1683-3295-2020-22-1-56-64
- 11. Кривошапкин А.Л., Орлов К.Ю., Брусянская А.С. и др. Результаты инвазивного лечения больных с эпилептическим типом течения артериовенозных мальформаций головного мозга. Сибирский научный медицинский журнал 2018;38(6):145—53. DOI: 10.15372/SSMJ20180621 Krivoshapkin A.L., Orlov K.Yu., Brusyanskaya A.S. et al. The results of invasive treatment of patients with brain arteriovenous malformations with seizure. Sibirskij Nauchnyj Medicinskij Zhurnal = Siberian Scientific Medical Journal 2018;38(6):145—53. (In Russ.). DOI: 10.15372/SSMJ20180621
- Frey S., Cantieni T., Vuillemin N. et al. Angioarchitecture and hemodynamics of microvascular arterio-venous malformations. PLoS One 2018;13(9):e0203368. DOI: 10.1371/journal. pone.0203368
- Guo H., Yin Q., Liu P. et al. Focus on the target: angiographic features of the fistulous point and prognosis of transvenous embolization of cavernous sinus dural arteriovenous fistula. Interv Neuroradiol 2018;24(2):197–205. DOI: 10.1177/ 1591019917751894
- Fard M.O., Yousofnejad O., Heydari M. Traumatic arteriovenous malformation of the superficial temporal artery. Adv Biomed Res 2017;6:82. DOI: 10.4103/2277-9175.210663
- Gangadharaswamy S.B., Nagaraj N.M., Pai B.S. Surgical management of scalp arteriovenous malformations using a novel surgical technique — Case series. Int J Surg Case Rep 2017;37:250—3. DOI: 10.1016/j.ijscr.2017.06.057
- 16. Agha R.A., Fowler A.J., Saeta A. et al. The SCARE statement: consensus-based surgical case report guidelines. Int J Surg 2016;34:180–6. DOI: 10.1016/j.ijsu.2016.08.014
- Borden J.A., Wu J.K., Shucart W.A. A proposed classification for spinal and cranial dural arteriovenous fistulous malformations and implications for treatment. J Neurosurg 1995;82(2):166–79. DOI: 10.3171/jns.1995.82.2.0166
- Cognard C., Gobin Y.P., Pierot L. et al. Cerebral dural arteriovenous fistulas: clinical and angiographic correlation with a revised classification of venous drainage. Radiology 1995;194(3):671–80. DOI: 10.1148/radiology.194.3.7862961
- 19. Li D., Heiferman D.M., Rothstein B.D. et al. Scalp arteriovenous malformation (cirsoid aneurysm) in adolescence: report of 2 cases

- and review of the literature. World Neurosurg 2018;116:e1042—e6. DOI: 10.1016/j.wneu.2018.05.161
- Kim J.B., Lee J.W., Choi K.Y. et al. Clinical characteristics of arteriovenous malformations of the head and neck. Dermatol surg 2017;43(4):526–33. PMID: 28244905 DOI: 10.1097/ dss.0000000000000993
- Samadi K., Salazar G.M. Role of imaging in the diagnosis of vascular malformations vascular malformations. Cardiovasc Diagn Ther 2019;9(Suppl 1):S143–51. DOI: 10.21037/cdt.2018.08.06
- 22. Xu K., Ji T., Li C., Yu J. Current status of endovascular treatment for dural arteriovenous fistulae in the anterior cranial fossa: a systematic literature review. Int J Med Sci 2019;16(2):203–11. DOI: 10.7150/iims.29637
- Mohr J.P., Parides M.K., Stapf C. et al. Medical management with or without interventional therapy for enraptured brain arteriovenous malformations (ARUBA): a multicentre, non-blinded randomised trial. Lancet 2014;383(9917): 614–21. DOI: 10.1016/S0140-6736(13)62302-8
- 24. Орлов К.Ю., Берестов В.В., Кривошапкин А.Л. и др. Эффективность трансвенозного доступа при эмболизации конвекситальных церебральных артериовеноз-ных мальформаций. Acta Biomedica Scientifica 2018;3(1):66—72. DOI: 10.29413/ABS.2018-3.1.10 Orlov K.Y., Berestov V.V., Krivoshapkin A.L. et al. The efficiency of transvenous access for embolization of convexital cerebral arteriovenous malformations. Acta Biomedica Scientifica 2018;3(1):66—72. (In Russ.). DOI: 10.29413/ABS.2018-3.1.10
- 25. Брусянская А.С., Кривошапкин А.Л., Орлов К.Ю. и др. Сравнение результатов и выявление предикторов неблагоприятного исхода после эндоваскулярной эмболизации у больных с разными типами течения артериовенозных мальформаций головного мозга. Патология кровообращения и кардиохирургия 2019;23(1):54–60. DOI: 10.21688-1681-3472-2019-1-54-60 Brusyanskaya A.S., Krivoshapkin A.L., Orlov K.Yu. et al. Efficiency of endovascular embolization and predictors of postoperative complications in patients with different types of brain arteriovenous malformations. Patologiya krovoobrashcheniya i kardiokhirurgiya = Circulation Pathology and Cardiac Surgery 2019;23(1):54–60. (In Russ.). DOI: 10.21688-1681-3472-2019-1-54-60
- 26. Калиев А.Б., Махамбетов Е.Т., Керимбаев Т.Т. и др. Сравнительный анализ методов лечения артериовенозных мальформаций головного мозга. Опыт Национального центра нейрохирургии. Нейрохирургия и неврология Казахстана 2016;4(45):3—7. Kaliev A.B., Makhambetov E.T., Kerimbaev T.T. et al. Comparative analysis of methods of treating brain arteriovenous malformations. Experience of the National Centre for Neurosurgery. Neyrokhirurgiya i nevrologiya Kazakhstana = Neurosurgery and Neurology of Kazakhstan 2016;4(45):3—7. (In Russ.).
- Kim R., Do Y.S., Park K.B. How to treat peripheral arteriovenous malformations. Korean J Radiol 2021;22(4):568–76.
 DOI: 10.3348/kjr.2020.0981
- 28. Хирургия аневризм головного мозга. Под ред. В.В. Крылова. М.: Изд-во Т.А. Алексеева, 2012. Т. 3. 417 с. Surgery for cerebral aneurysms. Ed. by V.V. Krylov. Moscow: Izd-vo T.A. Alekseeva, 2012. V. 3. 417 p. (In Russ.).
- 29. Жаде С.А., Першин М.Е., Белый А.И. и др. Дуральные артериовенозные фистулы: описание двух клинических случаев и обзор литературы. Инновационная медицина Кубани 2020;3(19):52—60. DOI: 10.35401/2500-0268-2020-19-3-52-60 Zhade S.A., Pershin M.E., Belyi A.I. et al. Dural arteriovenous fistulas: two case reports and review. Innovacionnaâ medicina Kubani = Innovative medicine of Kuban 2020;3(19):52—60. (In Russ.). DOI: 10.35401/2500-0268-2020-19-3-52-60
- Davies A.H., Gibbons C.P. Vascular access simplified. 2nd ed. TFM Publishing Ltd, 2007. 246 p.
- 31. Токарев А.С., Чувилин С.А., Незнанова М.В. Магнитно-резонансная томография в диагностике артериовенозных мальформаций сосудов головного мозга и оценке результатов их стереотаксического радиохирургического лечения (обзор литературы). Нейрохирургия 2021;23(1):135–45. DOI: 10.17650/1683-3295-2021-23-1-135-145

- Tokarev A.S., Chuvilin S.A., Neznanova M.V. Magnetic resonance imaging in the diagnosis of brain arteriovenous malformations and in the evaluation of the results of stereotactic radiosurgery (review). Neyrokhirurgiya = Russian Journal of Neurosurgery 2021;23(1):135–45. (In Russ.). DOI: 10.17650/1683-3295-2021-23-1-135-145
- 32. Seo Y., Kim D.G., Dho Y.S. et al. A retrospective analysis of the outcomes of dural arteriovenous fistulas treated with Gamma Knife radiosurgery: a single-institution experience. Stereotact Funct Neurosurg 2018;96(1):46–53. DOI: 10.1159/000486685
- Gandhi D., Chen J., Pearl M. et al. Intracranial dural arteriovenous fistulas: classification, imaging findings, and treatment.
 Am J Neuroradiol 2012;33(6):1007–13. PMID: 22241393 DOI: 10.3174/ajnr.A2798
- 34. Парфенов В.Е., Свистов Д.В., Элиава Ш.Ш. и др. Клинические рекомендации. Диагностика и лечение артерию-венозных мальформаций центральной нервной системы. Ассоциация нейрохирургов России. Москва, 2014. 35 с. Parfenov V.E., Svistov D.V., Eliava Sh.Sh. et al. Clinical guidelines. Diagnosis and treatment of venous malformations of the central nervous system. Association of Neurosurgeons of Russia. Moscow, 2014. 35 p. (In Russ.).
- 35. Spetzler R.F., Martin N.A. A proposed grading system for arteriovenous malformations. J Neurosurg 1986;65(4):476–83. DOI: 10.3171/jns.1986.65.4.0476
- Chen C.J., Ding D., Derdeyn C.P. et al. Brain arteriovenous malformations: A review of natural history, pathobiology, and interventions. Neurology 2020;95(20):917–27. DOI: 10.1212/ WNI.0000000000010968
- Unnithan A. Overview of the current concepts in the management of arteriovenous malformations of the brain. Postgrad Med J 2020;96(1134):212–20. DOI: 10.1136/postgradmedj-2019-137202
- Derdeyn C.P., Zipfel G.J., Albuquerque F.C. et al. Management of brain arteriovenous malformations: a scientific statement for healthcare professionals from the American Heart Association/ American Stroke Association. Stroke 2017;48(8):e200–e24. DOI: 10.1161/STR.0000000000000134
- Cenzato M., Boccardi E., Beghi E. et al. European consensus conference on unruptured brain AVMs treatment (Supported by EANS, ESMINT, EGKS, and SINCH). Acta Neurochir (Wien) 2017;159(6):1059–64. DOI: 10.1007/s00701-017-3154-8
- Orosz P., Vadász Á., Veres D.S. et al. Living with a Brain AVM: a quality of life assessment. Acta Neurochir Suppl 2021;(132):71–6. DOI: 10.1007/978-3-030-63453-7_10
- 41. Chen Y., Yan D., Li Z. et al. Long-term outcomes of elderly brain arteriovenous malformations after different management modalities: a multicenter retrospective study. Front Aging Neurosci 2021;13:609588. DOI: 10.3389/fnagi.2021.609588
- 42. Burkhardt J.K., Lasker G.F., Winkler E.A. et al. Microsurgical resection of brain arteriovenous malformations in the elderly: outcomes analysis and risk stratification. J Neurosurg 2018;129(5):1107–13. DOI: 10.3171/2017.6.JNS17392
- 43. Morgan M.K., Davidson A.S., Assaad N.N.A., Stoodley M.A. Critical review of brain AVM surgery, surgical results and natural history in 2017. Acta Neurochir (Wien) 2017;159(8):1457–78. DOI: 10.1007/s00701-017-3217-x
- Padilla-Vazquez F., Zenteno M.A., Balderrama J. et al. A proposed classification for assessing rupture risk in patients with intracranial arteriovenous malformations. Surg Neurol Int 2017;8:303.
 DOI: 10.4103/sni.sni 273 17
- 45. Starke R.M., Komotar R.J., Otten M.L. et al. Adjuvant embolization with N-butyl cyanoacrylate in the treatment of cerebral arteriovenous malformations: outcomes, complications, and predictors of neurologic deficits. Stroke 2009;40(8):2783–90. DOI: 10.1161/STROKEAHA.108.539775
- Beltramello A., Zampieri P., Ricciardi G.K. et al. Operative classification of brain arteriovenous malformations. Interv Neuroradiol 2008;14(1):9–19. DOI: 10.1177/ 159101990801400102

НЕЙРОХИРУРГИЯ Russian Journal of Neurosurgery TOM 24 Volume 24

Вклад авторов

А.В. Природов: разработка концепции и дизайна исследования, сбор и обработка материала, научное редактирование статьи;

Е.Ю. Бахарев: разработка концепции и дизайна исследования; сбор и обработка материала, редактирование статьи;

Р.М. Козлова: сбор и обработка материала; написание статьи;

М.В. Синкин: сбор и обработка материала, написание статьи;

А.А. Гринь: разработка концепции и дизайна исследования, научное редактирование статьи.

Authors' contributions

A.V. Prirodov: research idea and design; obtaining data for analysis; data analysis, scientific editing of the article;

E.Yu. Bakharev: research idea and design; obtaining data for analysis, editing of the article;

R.M. Kozlova: obtaining data for analysis; data analysis; article writing;

M.V. Sinkin: obtaining data for analysis; data analysis, editing of the article;

A.A. Grin: research idea and design, scientific editing of the article.

ORCID авторов / ORCID of authors

А.В. Природов / А.V. Prirodov: https://orcid.org/0000-0003-2444-8136 E.Ю. Бахарев / Е.Yu. Bakharev: https://orcid.org/0000-0003-1525-1585 P.M. Козлова / R.M. Kozlova: https://orcid.org/0000-0002-3685-2278 M.B. Синкин / М.V. Sinkin: https://orcid.org/0000-0001-5026-0060 A.A. Гринь / А.A. Grin: https://orcid.org/0000-0003-3515-8329

Конфликт интересов. Авторы заявляют об отсутствии конфликта интересов.

Conflict of interest. The authors declare no conflict of interest.

Финансирование. Работы выполнялись без внешнего финансирования.

Funding. The work was performed without external funding.

Соблюдение прав пациентов и правил биоэтики. Пациент подписал информированное согласие на участие в исследовании.

Compliance with patient rights and principles of bioethics. The patient gave written informed consent to participate in the study.